

Cryptographie à clé publique

Cours 8

Julien Lavauzelle

Université Paris 8

Master 1 mathématiques et applications – parcours ACC

14/04/2023

On a vu **la semaine dernière** :

- notions sur le modèle de calcul quantique
- besoin d'une cryptographie post-quantique
- notions sur les réseaux euclidiens
- chiffrement NTRU
- problème LWE et chiffrement de Regev

On a vu la **semaine dernière** :

- notions sur le modèle de calcul quantique
- besoin d'une cryptographie post-quantique
- notions sur les réseaux euclidiens
- chiffrement NTRU
- problème LWE et chiffrement de Regev

Cette semaine : **cryptographie à base de codes** :

- décodage générique
- cryptosystème de McEliece
- protocole d'identification de Stern
- signatures à base de codes

1. Le système de McEliece

2. Cryptanalyse

Préliminaires mathématiques

Algorithme de Prange

Algorithme de Dumer

McEliece en pratique

3. Signature

CFS

Schéma d'identification de Stern

Notations.

- Un code correcteur linéaire \mathcal{C} est un sous-espace vectoriel de \mathbb{F}_q^n , où $n \geq 1$.
- On note k sa dimension, et

$$d = \min\{|c|, c \in \mathcal{C} \setminus \{\mathbf{0}\}\}$$

où $|x|$ représente le poids de Hamming de x .

Matrices génératrices et de parité.

- Une **matrice génératrice** d'un code \mathcal{C} est une matrice $\mathbf{G} \in \mathbb{F}_q^{k \times n}$ telle que

$$\mathcal{C} = \{m\mathbf{G}, m \in \mathbb{F}_q^k\}$$

- Une **matrice de parité** d'un code \mathcal{C} est une matrice $\mathbf{H} \in \mathbb{F}_q^{(n-k) \times n}$ telle que

$$\mathcal{C} = \{x \in \mathbb{F}_q^n \mid \mathbf{H}x^\top = \mathbf{0}\}$$

Bornes et décodage. La borne de Singleton assure que $d \leq n - k + 1$, et il est **théoriquement** possible de décoder jusque $\lfloor \frac{d-1}{2} \rfloor$ erreurs de manière unique.

Bornes et décodage. La borne de Singleton assure que $d \leq n - k + 1$, et il est **théoriquement** possible de décoder jusque $\lfloor \frac{d-1}{2} \rfloor$ erreurs de manière unique.

→ Certains codes sont munis d'**algorithmes de décodage efficaces**, en terme de complexité (polynomiale en n) et en capacité de correction (proche de la limite théorique).

Exemples : codes de Hamming, codes de Goppa, codes BCH, codes de Reed–Solomon.

Bornes et décodage. La borne de Singleton assure que $d \leq n - k + 1$, et il est **théoriquement** possible de décoder jusque $\lfloor \frac{d-1}{2} \rfloor$ erreurs de manière unique.

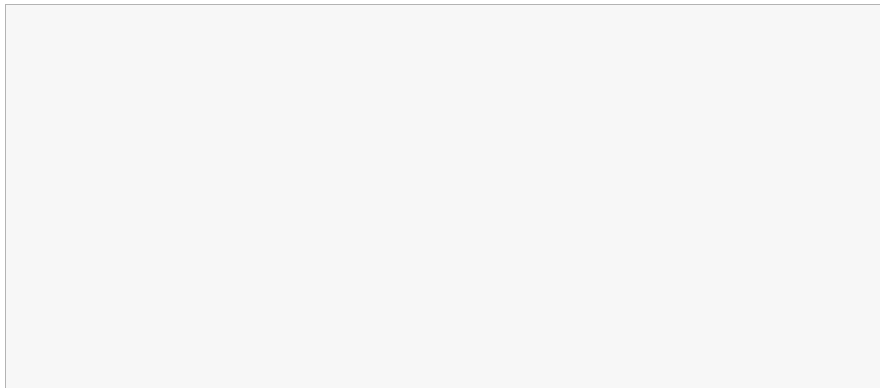
→ Certains codes sont munis d'**algorithmes de décodage efficaces**, en terme de complexité (polynomiale en n) et en capacité de correction (proche de la limite théorique).

Exemples : codes de Hamming, codes de Goppa, codes BCH, codes de Reed–Solomon.

→ Pour fonctionner, ces algorithmes ont besoin de **davantage de données** que simplement la structure vectorielle du code.

Exemples : les points d'évaluations pour le code de Reed–Solomon, l'ensemble de définition pour le code BCH.

McEliece propose en 1978 (un an après RSA) le système suivant, ici décrit informellement



McEliece propose en 1978 (un an après RSA) le système suivant, ici décrit informellement

1. **Génération de clefs.** Alice choisit aléatoirement un code correcteur $\mathcal{C} \subseteq \mathbb{F}_q^n$ de dimension k , qui corrige jusqu'à t erreurs.
 - clé publique : Alice publie t , ainsi qu'un procédé d'encodage aléatoire E du code \mathcal{C}
 - clé secrète : Alice garde secrètement un algorithme de décodage pour le code \mathcal{C} .

McEliece propose en 1978 (un an après RSA) le système suivant, ici décrit informellement

- 1. Génération de clefs.** Alice choisit aléatoirement un code correcteur $\mathcal{C} \subseteq \mathbb{F}_q^n$ de dimension k , qui corrige jusqu'à t erreurs.
 - clé publique : Alice publie t , ainsi qu'un procédé d'encodage aléatoire E du code \mathcal{C}
 - clé secrète : Alice garde secrètement un algorithme de décodage pour le code \mathcal{C} .
- 2. Chiffrement.** Bob souhaite envoyer un message $m \in \mathbb{F}_q^k$.
 - Il choisit une erreur $e \in \mathbb{F}_q^n$ de poids t , et encode son message m en un mot de code $c = E(m) \in \mathcal{C}$.
 - Le chiffré est $y = c + e$.

McEliece propose en 1978 (un an après RSA) le système suivant, ici décrit informellement

- 1. Génération de clefs.** Alice choisit aléatoirement un code correcteur $\mathcal{C} \subseteq \mathbb{F}_q^n$ de dimension k , qui corrige jusqu'à t erreurs.
 - clé publique : Alice publie t , ainsi qu'un procédé d'encodage aléatoire E du code \mathcal{C}
 - clé secrète : Alice garde secrètement un algorithme de décodage pour le code \mathcal{C} .
- 2. Chiffrement.** Bob souhaite envoyer un message $m \in \mathbb{F}_q^k$.
 - Il choisit une erreur $e \in \mathbb{F}_q^n$ de poids t , et encode son message m en un mot de code $c = E(m) \in \mathcal{C}$.
 - Le chiffré est $y = c + e$.
- 3. Déchiffrement.** Alice souhaite retrouver le message m à partir du chiffré y .
 - Alice corrige les erreurs dans y grâce à son algorithme de décodage D , et obtient $c \in \mathcal{C}$
 - Alice retrouve le message m associé à c .

McEliece propose en 1978 (un an après RSA) le système suivant, ici décrit informellement

- 1. Génération de clefs.** Alice choisit aléatoirement un code correcteur $\mathcal{C} \subseteq \mathbb{F}_q^n$ de dimension k , qui corrige jusqu'à t erreurs.
 - clé publique : Alice publie t , ainsi qu'un procédé d'encodage aléatoire E du code \mathcal{C}
 - clé secrète : Alice garde secrètement un algorithme de décodage pour le code \mathcal{C} .
- 2. Chiffrement.** Bob souhaite envoyer un message $m \in \mathbb{F}_q^k$.
 - Il choisit une erreur $e \in \mathbb{F}_q^n$ de poids t , et encode son message m en un mot de code $c = E(m) \in \mathcal{C}$.
 - Le chiffré est $y = c + e$.
- 3. Déchiffrement.** Alice souhaite retrouver le message m à partir du chiffré y .
 - Alice corrige les erreurs dans y grâce à son algorithme de décodage D , et obtient $c \in \mathcal{C}$
 - Alice retrouve le message m associé à c .

La sécurité du système repose sur l'**incapacité** à décoder dans \mathcal{C} à partir (uniquement) du procédé d'encodage E .

Plusieurs questions sur le **système de McEliece** :

1. quels codes choisir ? quel procédé d'encodage ?
2. quelle est la sécurité du système ?
3. quelle performance (taille de clés, complexité) ?

Historiquement, McEliece a proposé de choisir les codes parmi la famille des **codes de Goppa binaires**.

Historiquement, McEliece a proposé de choisir les codes parmi la famille des **codes de Goppa binaires**.

Définition. Soit $q = 2^m$ et $g(x) \in \mathbb{F}_q[X]$ de degré t sans racine multiple. Soit $\mathbf{a} = (a_1, \dots, a_n) \in \mathbb{F}_q^n$ distincts, tels que $g(a_i) \neq 0$ pour tout $i \in [1, n]$. Alors, le **code de Goppa binaire** est

$$\Gamma(g, \mathbf{a}) := \left\{ \mathbf{c} \in \mathbb{F}_2^n \mid \sum_{i=1}^n \frac{c_i}{g(a_i)} \frac{g(x) - g(a_i)}{x - a_i} \equiv 0 \pmod{g(x)} \right\} \subseteq \mathbb{F}_2^n.$$

Historiquement, McEliece a proposé de choisir les codes parmi la famille des **codes de Goppa binaires**.

Définition. Soit $q = 2^m$ et $g(x) \in \mathbb{F}_q[X]$ de degré t sans racine multiple. Soit $\mathbf{a} = (a_1, \dots, a_n) \in \mathbb{F}_q^n$ distincts, tels que $g(a_i) \neq 0$ pour tout $i \in [1, n]$. Alors, le **code de Goppa binaire** est

$$\Gamma(g, \mathbf{a}) := \left\{ \mathbf{c} \in \mathbb{F}_2^n \mid \sum_{i=1}^n \frac{c_i}{g(a_i)} \frac{g(x) - g(a_i)}{x - a_i} \equiv 0 \pmod{g(x)} \right\} \subseteq \mathbb{F}_2^n.$$

Propriétés.

1. Si $g(x)$ est irréductible de degré t , alors $\Gamma(g, \mathbf{a})$ a distance minimale $2t + 1$ et dimension $k = n - tm$.
2. Les codes de Goppa sont des codes alternants, autrement dit des sous-codes sur un sous-corps de certains codes de Reed-Solomon.
3. Il existe des algorithmes de décodage efficaces pour décoder $\Gamma(g, \mathbf{a})$ jusqu'au rayon de décodage unique $t = \lfloor \frac{d-1}{2} \rfloor$
→ Exemple : algorithme de Patterson

Fixons n, m et t , et $q = 2^m$. On considère \mathcal{F} la famille des codes de Goppa binaires

$$\mathcal{F} = \{ \Gamma(g, \mathbf{a}) \mid g \in \mathbb{F}_q[X] \text{ irréductible et } \mathbf{a} \in \mathbb{F}_q^n \text{ distincts} \}$$

Tous ces paramètres sont publics. On note également $k = n - tm$.

Fixons n , m et t , et $q = 2^m$. On considère \mathcal{F} la famille des codes de Goppa binaires

$$\mathcal{F} = \{ \Gamma(g, \mathbf{a}) \mid g \in \mathbb{F}_q[X] \text{ irréductible et } \mathbf{a} \in \mathbb{F}_q^n \text{ distincts} \}$$

Tous ces paramètres sont publics. On note également $k = n - tm$.

MCÉLIECE : GÉNÉRATION DE CLEFS

1. Alice choisit aléatoirement $\mathcal{C} = \Gamma(g, \mathbf{a}) \in \mathcal{F}$
2. Alice calcule une matrice génératrice (aléatoire) $\mathbf{G} \in \mathbb{F}_2^{k \times n}$ de \mathcal{C}
3. Les clefs sont :
 - clé privée : g et \mathbf{a}
 - clé publique : \mathbf{G} .

Fixons n , m et t , et $q = 2^m$. On considère \mathcal{F} la famille des codes de Goppa binaires

$$\mathcal{F} = \{ \Gamma(g, \mathbf{a}) \mid g \in \mathbb{F}_q[X] \text{ irréductible et } \mathbf{a} \in \mathbb{F}_q^n \text{ distincts} \}$$

Tous ces paramètres sont publics. On note également $k = n - tm$.

MCÉLIECE : GÉNÉRATION DE CLEFS

1. Alice choisit aléatoirement $\mathcal{C} = \Gamma(g, \mathbf{a}) \in \mathcal{F}$
2. Alice calcule une matrice génératrice (aléatoire) $\mathbf{G} \in \mathbb{F}_2^{k \times n}$ de \mathcal{C}
3. Les clefs sont :
 - clé privée : g et \mathbf{a}
 - clé publique : \mathbf{G} .

Taille des clefs.

- clé privée : $(t + n)m = O(n \log n)$ bits,
- clé publique : naïvement kn . On peut réduire à $k(n - k)$ en publiant une forme systématique. Dans tous les cas, $O(n^2)$ bits.

Fixons n , m et t , et $q = 2^m$. On considère \mathcal{F} la famille des codes de Goppa binaires

$$\mathcal{F} = \{ \Gamma(g, \mathbf{a}) \mid g \in \mathbb{F}_q[X] \text{ irréductible et } \mathbf{a} \in \mathbb{F}_q^n \text{ distincts} \}$$

Tous ces paramètres sont publics. On note également $k = n - tm$.

MCELIECE : GÉNÉRATION DE CLEFS

1. Alice choisit aléatoirement $\mathcal{C} = \Gamma(g, \mathbf{a}) \in \mathcal{F}$
2. Alice calcule une matrice génératrice (aléatoire) $\mathbf{G} \in \mathbb{F}_2^{k \times n}$ de \mathcal{C}
3. Les clefs sont :
 - clé privée : g et \mathbf{a}
 - clé publique : \mathbf{G} .

Taille des clefs.

- clé privée : $(t + n)m = O(n \log n)$ bits,
- clé publique : naïvement kn . On peut réduire à $k(n - k)$ en publiant une forme systématique. Dans tous les cas, $O(n^2)$ bits.

Complexité. Choix de g en $O^\sim(n)$. Calcul de \mathbf{G} en $O^\sim(n^2)$.

Bob souhaite chiffrer un message $m \in \mathbb{F}_2^k$.

McELIECE : CHIFFREMENT

1. Bob choisit aléatoirement un mot $e \in \mathbb{F}_2^n$ de poids t
2. Bob calcule $c = mG$
3. le chiffré est défini par $y = c + e$

Bob souhaite chiffrer un message $m \in \mathbb{F}_2^k$.

MCÉLIECE : CHIFFREMENT

1. Bob choisit aléatoirement un mot $e \in \mathbb{F}_2^n$ de poids t
2. Bob calcule $c = mG$
3. le chiffré est défini par $y = c + e$

Taille des messages.

- ▶ clair : k bits
- ▶ chiffré : n bits

Bob souhaite chiffrer un message $m \in \mathbb{F}_2^k$.

MCELIECE : CHIFFREMENT

1. Bob choisit aléatoirement un mot $e \in \mathbb{F}_2^n$ de poids t
2. Bob calcule $c = mG$
3. le chiffré est défini par $y = c + e$

Taille des messages.

- ▶ clair : k bits
- ▶ chiffré : n bits

Complexité. Calcul de e en $O(n)$. Calcul de c , puis de y , en $O(n^2)$.

Alice souhaite déchiffrer $\mathbf{y} \in \mathbb{F}_2^k$.

MCELIECE : DÉCHIFFREMENT

1. Alice utilise son algorithme de décodage (qui dépend de g et \mathbf{a}) pour decoder \mathbf{y} .
2. Alice obtient le message \mathbf{m} en sortie de l'algorithme de décodage

Complexité. Décodage en $O(n^2)$ (Patterson).

1. Le système de McEliece

2. Cryptanalyse

Preliminaires mathématiques

Algorithme de Prange

Algorithme de Dumer

McEliece en pratique

3. Signature

CFS

Schéma d'identification de Stern

Attaques « sur la clé ». Étant donné la clé publique G , on essaie de retrouver la structure de code (de Goppa), ce qui permettrait de décoder.

- attaque indépendante des messages à chiffrer
- pour les codes de Goppa, il existe des résultats confortant l'idée qu'un code de Goppa aléatoire est semblable à un code aléatoire sans structure
- mais, pas de preuve formelle

Attaques « sur la clé ». Étant donné la clé publique G , on essaie de retrouver la structure de code (de Goppa), ce qui permettrait de décoder.

- attaque indépendante des messages à chiffrer
- pour les codes de Goppa, il existe des résultats confortant l'idée qu'un code de Goppa aléatoire est semblable à un code aléatoire sans structure
- mais, pas de preuve formelle

Attaques « sur le message ». Étant donné un chiffré $y = mG + e$, on essaie de retrouver m .

- dans ce type d'attaque, on suppose généralement que le code n'admet aucune structure connue
- on étudie donc des méthodes de **décodage générique** pour des codes aléatoires.

1. Le système de McEliece

2. Cryptanalyse

Préliminaires mathématiques

Algorithme de Prange

Algorithme de Dumer

McEliece en pratique

3. Signature

CFS

Schéma d'identification de Stern

On suppose maintenant que le code \mathcal{C} n'a aucune structure évidente (autre que vectorielle).

Question. Quelle est la difficulté de décoder un code aléatoire ?

On suppose maintenant que le code \mathcal{C} n'a aucune structure évidente (autre que vectorielle).

Question. Quelle est la difficulté de décoder un code aléatoire ?

Remarque. Si $\mathbf{y} = \mathbf{c} + \mathbf{e}$, alors :

$$\mathbf{mG} + \mathbf{e} = \mathbf{y} \iff \mathbf{eH}^\top = \mathbf{yH}^\top .$$

Dans la suite, on note $\mathbf{s} = \mathbf{yH}^\top \in \mathbb{F}_q^{n-k}$ le **syndrome** de \mathbf{y} .

On suppose maintenant que le code \mathcal{C} n'a aucune structure évidente (autre que vectorielle).

Question. Quelle est la difficulté de décoder un code aléatoire ?

Remarque. Si $\mathbf{y} = \mathbf{c} + \mathbf{e}$, alors :

$$\mathbf{mG} + \mathbf{e} = \mathbf{y} \iff \mathbf{eH}^\top = \mathbf{yH}^\top.$$

Dans la suite, on note $\mathbf{s} = \mathbf{yH}^\top \in \mathbb{F}_q^{n-k}$ le **syndrome** de \mathbf{y} .

Problème du décodage par syndrome (*syndrome decoding*, SD).

- **Paramètres** : n, k, q, w .
- **Instance** : $\mathbf{H} \in \mathbb{F}_q^{(n-k) \times n}$, $\mathbf{s} \in \mathbb{F}_q^{n-k}$.
- **Chercher** : $\mathbf{e} \in \mathbb{F}_q^n$ de poids w tel que $\mathbf{eH}^\top = \mathbf{s}$.

On suppose maintenant que le code \mathcal{C} n'a aucune structure évidente (autre que vectorielle).

Question. Quelle est la difficulté de décoder un code aléatoire ?

Remarque. Si $\mathbf{y} = \mathbf{c} + \mathbf{e}$, alors :


$$\mathbf{mG} + \mathbf{e} = \mathbf{y} \iff \mathbf{eH}^\top = \mathbf{yH}^\top.$$

Dans la suite, on note $\mathbf{s} = \mathbf{yH}^\top \in \mathbb{F}_q^{n-k}$ le **syndrome** de \mathbf{y} .

Problème du décodage par syndrome (*syndrome decoding*, SD).

- Paramètres : n, k, q, w .
- Instance : $\mathbf{H} \in \mathbb{F}_q^{(n-k) \times n}$, $\mathbf{s} \in \mathbb{F}_q^{n-k}$.
- Chercher : $\mathbf{e} \in \mathbb{F}_q^n$ de poids w tel que $\mathbf{eH}^\top = \mathbf{s}$.

Théorème (Berlekamp, McEliece et van Tilborg, 1978). SD est un problème NP-difficile.

 *On the inherent intractability of certain coding problems.* Berlekamp, McEliece et van Tilborg. IEEE. 1978.

Réduction polynomiale vers le problème du mariage 3-dimensionnel (*3D-matching*).

On suppose maintenant que le code \mathcal{C} n'a aucune structure évidente (autre que vectorielle).

Question. Quelle est la difficulté de décoder un code aléatoire ?

Remarque. Si $\mathbf{y} = \mathbf{c} + \mathbf{e}$, alors :


$$\mathbf{mG} + \mathbf{e} = \mathbf{y} \iff \mathbf{eH}^\top = \mathbf{yH}^\top.$$

Dans la suite, on note $\mathbf{s} = \mathbf{yH}^\top \in \mathbb{F}_q^{n-k}$ le **syndrome** de \mathbf{y} .

Problème du décodage par syndrome (*syndrome decoding*, SD).

- Paramètres : n, k, q, w .
- Instance : $\mathbf{H} \in \mathbb{F}_q^{(n-k) \times n}$, $\mathbf{s} \in \mathbb{F}_q^{n-k}$.
- Chercher : $\mathbf{e} \in \mathbb{F}_q^n$ de poids w tel que $\mathbf{eH}^\top = \mathbf{s}$.

Théorème (Berlekamp, McEliece et van Tilborg, 1978). SD est un problème NP-difficile.

 *On the inherent intractability of certain coding problems.* Berlekamp, McEliece et van Tilborg. IEEE. 1978.

Réduction polynomiale vers le problème du mariage 3-dimensionnel (*3D-matching*).

Conséquence. Il existe des instances difficiles. Que dire de l'instance **moyenne** ?

Problème du décodage par syndrome (*syndrome decoding*, SD).

- Paramètres : n, k, q, w .
- Instance : $H \in \mathbb{F}_q^{(n-k) \times n}, \mathbf{s} \in \mathbb{F}_q^{n-k}$.
- Chercher : $e \in \mathbb{F}_q^n$ de poids w tel que $eH^\top = \mathbf{s}$.

Problème du décodage par syndrome (*syndrome decoding*, SD).

- **Paramètres** : n, k, q, w .
- **Instance** : $H \in \mathbb{F}_q^{(n-k) \times n}, s \in \mathbb{F}_q^{n-k}$.
- **Chercher** : $e \in \mathbb{F}_q^n$ de poids w tel que $eH^\top = s$.

Remarque. Sans la contrainte de poids, le problème est facile (algèbre linéaire).

Problème du décodage par syndrome (*syndrome decoding*, SD).

- Paramètres : n, k, q, w .
- Instance : $H \in \mathbb{F}_q^{(n-k) \times n}, s \in \mathbb{F}_q^{n-k}$.
- Chercher : $e \in \mathbb{F}_q^n$ de poids w tel que $eH^T = s$.

Remarque. Sans la contrainte de poids, le problème est facile (algèbre linéaire).

Questions.

1. Existe-t-il toujours au moins une solution ?
2. Si oui, **combien** (en moyenne) ?

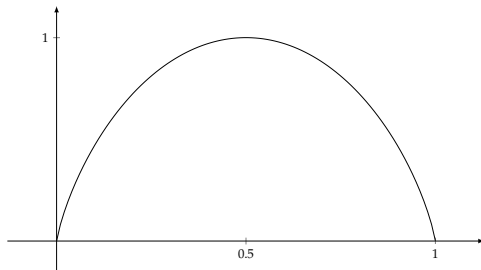
Définition. La fonction d'entropie binaire est

Définition. La fonction d'entropie binaire est

$$h(x) = -(1-x) \log_2(1-x) - x \log_2(x)$$

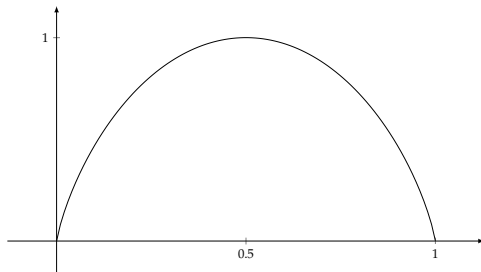
Définition. La fonction d'entropie binaire est

$$h(x) = -(1-x) \log_2(1-x) - x \log_2(x)$$



Définition. La fonction d'entropie binaire est

$$h(x) = -(1-x) \log_2(1-x) - x \log_2(x)$$



Remarque. Très utile en théorie de l'information.

Lemme. Si $\omega := \frac{w}{n}$ et $n \rightarrow \infty$, alors on a

$$\binom{n}{w} = 2^{n(h(\omega)+o(1))} .$$

Lemme. Si $\omega := \frac{w}{n}$ et $n \rightarrow \infty$, alors on a

$$\binom{n}{w} = 2^{n(h(\omega)+o(1))}.$$

Preuve. La formule de Stirling assure que

$$n! \sim \sqrt{2\pi n} 2^{n(\log n - \log e)}$$

Lemme. Si $\omega := \frac{w}{n}$ et $n \rightarrow \infty$, alors on a

$$\binom{n}{w} = 2^{n(h(\omega)+o(1))}.$$

Preuve. La formule de Stirling assure que

$$n! \sim \sqrt{2\pi n} 2^{n(\log n - \log e)}$$

Donc,

$$\binom{n}{w} = \frac{n!}{w!(n-w)!}$$

Lemme. Si $\omega := \frac{w}{n}$ et $n \rightarrow \infty$, alors on a

$$\binom{n}{w} = 2^{n(h(\omega)+o(1))}.$$

Preuve. La formule de Stirling assure que

$$n! \sim \sqrt{2\pi n} 2^{n(\log n - \log e)}$$

Donc,

$$\binom{n}{w} = \frac{n!}{w!(n-w)!} \sim \sqrt{\frac{n}{2\pi w(n-w)}} 2^{n(\log n - \log e) - w(\log w - \log e) - (n-w)(\log(n-w) - \log e)}$$

Lemme. Si $\omega := \frac{w}{n}$ et $n \rightarrow \infty$, alors on a

$$\binom{n}{w} = 2^{n(h(\omega)+o(1))}.$$

Preuve. La formule de Stirling assure que

$$n! \sim \sqrt{2\pi n} 2^{n(\log n - \log e)}$$

Donc,

$$\begin{aligned} \binom{n}{w} &= \frac{n!}{w!(n-w)!} \sim \sqrt{\frac{n}{2\pi w(n-w)}} 2^{n(\log n - \log e) - w(\log w - \log e) - (n-w)(\log(n-w) - \log e)} \\ &\sim \text{poly}(n, w) \cdot 2^{n(\log n - \omega(\log \omega + \log n) - (1-\omega)(\log(1-\omega) + \log n))} \end{aligned}$$

Lemme. Si $\omega := \frac{w}{n}$ et $n \rightarrow \infty$, alors on a

$$\binom{n}{w} = 2^{n(h(\omega)+o(1))}.$$

Preuve. La formule de Stirling assure que

$$n! \sim \sqrt{2\pi n} 2^{n(\log n - \log e)}$$

Donc,

$$\begin{aligned} \binom{n}{w} &= \frac{n!}{w!(n-w)!} \sim \sqrt{\frac{n}{2\pi w(n-w)}} 2^{n(\log n - \log e) - w(\log w - \log e) - (n-w)(\log(n-w) - \log e)} \\ &\sim \text{poly}(n, w) \cdot 2^{n(\log n - \omega(\log \omega + \log n) - (1-\omega)(\log(1-\omega) + \log n))} \\ &\sim \text{poly}(n, w) \cdot 2^{nh(\omega)} \end{aligned}$$

Lemme. Si $\omega := \frac{w}{n}$ et $n \rightarrow \infty$, alors on a

$$\binom{n}{w} = 2^{n(h(\omega)+o(1))}.$$

Preuve. La formule de Stirling assure que

$$n! \sim \sqrt{2\pi n} 2^{n(\log n - \log e)}$$

Donc,

$$\begin{aligned} \binom{n}{w} &= \frac{n!}{w!(n-w)!} \sim \sqrt{\frac{n}{2\pi w(n-w)}} 2^{n(\log n - \log e) - w(\log w - \log e) - (n-w)(\log(n-w) - \log e)} \\ &\sim \text{poly}(n, w) \cdot 2^{n(\log n - \omega(\log \omega + \log n) - (1-\omega)(\log(1-\omega) + \log n))} \\ &\sim \text{poly}(n, w) \cdot 2^{nh(\omega)} \\ &= 2^{n(h(\omega)+o(1))} \end{aligned}$$

Proposition. Fixons n, k, q et w . Alors, pour H et s tirés uniformément, l'espérance du nombre de solutions e du problème SD est

$$\binom{n}{w} \frac{(q-1)^w}{q^{n-k}}.$$

Proposition. Fixons n, k, q et w . Alors, pour H et s tirés uniformément, l'espérance du nombre de solutions e du problème SD est

$$\binom{n}{w} \frac{(q-1)^w}{q^{n-k}}.$$

Preuve. exercice.

Proposition. Fixons n, k, q et w . Alors, pour H et s tirés uniformément, l'espérance du nombre de solutions e du problème SD est

$$\binom{n}{w} \frac{(q-1)^w}{q^{n-k}}.$$

Preuve. exercice.

Prenons maintenant $q = 2$. Asymptotiquement en n , si $\omega = w/n$, alors

$$\binom{n}{w} \frac{(q-1)^w}{q^{n-k}} =$$

Proposition. Fixons n, k, q et w . Alors, pour H et s tirés uniformément, l'espérance du nombre de solutions e du problème SD est

$$\binom{n}{w} \frac{(q-1)^w}{q^{n-k}}.$$

Preuve. exercice.

Prenons maintenant $q = 2$. Asymptotiquement en n , si $\omega = w/n$, alors

$$\binom{n}{w} \frac{(q-1)^w}{q^{n-k}} = 2^{nh(\omega) - n + k + o(n)} = 2^{n(h(\omega) - (1-R) + o(1))}$$

Proposition. Fixons n, k, q et w . Alors, pour H et s tirés uniformément, l'espérance du nombre de solutions e du problème SD est

$$\binom{n}{w} \frac{(q-1)^w}{q^{n-k}}.$$

Preuve. exercice.

Prenons maintenant $q = 2$. Asymptotiquement en n , si $\omega = w/n$, alors

$$\binom{n}{w} \frac{(q-1)^w}{q^{n-k}} = 2^{nh(\omega)-n+k+o(n)} = 2^{n(h(\omega)-(1-R)+o(1))}$$

où $R = \frac{k}{n}$ est le taux d'information du code.

Proposition. Fixons n, k, q et w . Alors, pour H et s tirés uniformément, l'espérance du nombre de solutions e du problème SD est

$$\binom{n}{w} \frac{(q-1)^w}{q^{n-k}}.$$

Preuve. exercice.

Prenons maintenant $q = 2$. Asymptotiquement en n , si $\omega = w/n$, alors

$$\binom{n}{w} \frac{(q-1)^w}{q^{n-k}} = 2^{nh(\omega)-n+k+o(n)} = 2^{n(h(\omega)-(1-R)+o(1))}$$

où $R = \frac{k}{n}$ est le taux d'information du code.

Conséquence. Pour une instance aléatoire de SD :

Proposition. Fixons n, k, q et w . Alors, pour H et s tirés uniformément, l'espérance du nombre de solutions e du problème SD est

$$\binom{n}{w} \frac{(q-1)^w}{q^{n-k}}.$$

Preuve. exercice.

Prenons maintenant $q = 2$. Asymptotiquement en n , si $\omega = w/n$, alors

$$\binom{n}{w} \frac{(q-1)^w}{q^{n-k}} = 2^{nh(\omega) - n + k + o(n)} = 2^{n(h(\omega) - (1-R) + o(1))}$$

où $R = \frac{k}{n}$ est le taux d'information du code.

Conséquence. Pour une instance aléatoire de SD :

1. Si $h(\omega) < 1 - R$, le nombre de solutions tend exponentiellement vers 0,

Proposition. Fixons n, k, q et w . Alors, pour H et s tirés uniformément, l'espérance du nombre de solutions e du problème SD est

$$\binom{n}{w} \frac{(q-1)^w}{q^{n-k}}.$$

Preuve. exercice.

Prenons maintenant $q = 2$. Asymptotiquement en n , si $\omega = w/n$, alors

$$\binom{n}{w} \frac{(q-1)^w}{q^{n-k}} = 2^{nh(\omega) - n + k + o(n)} = 2^{n(h(\omega) - (1-R) + o(1))}$$

où $R = \frac{k}{n}$ est le taux d'information du code.

Conséquence. Pour une instance aléatoire de SD :

1. Si $h(\omega) < 1 - R$, le nombre de solutions tend exponentiellement vers 0,
2. si $h(\omega) > 1 - R$, le nombre de solutions est exponentiel,

Proposition. Fixons n, k, q et w . Alors, pour H et s tirés uniformément, l'espérance du nombre de solutions e du problème SD est

$$\binom{n}{w} \frac{(q-1)^w}{q^{n-k}}.$$

Preuve. exercice.

Prenons maintenant $q = 2$. Asymptotiquement en n , si $\omega = w/n$, alors

$$\binom{n}{w} \frac{(q-1)^w}{q^{n-k}} = 2^{nh(\omega) - n + k + o(n)} = 2^{n(h(\omega) - (1-R) + o(1))}$$

où $R = \frac{k}{n}$ est le taux d'information du code.

Conséquence. Pour une instance aléatoire de SD :

1. Si $h(\omega) < 1 - R$, le nombre de solutions tend exponentiellement vers 0,
2. si $h(\omega) > 1 - R$, le nombre de solutions est exponentiel,
3. si $h(\omega) = 1 - R$, le nombre de solutions est polynomial en n .

Définition. On définit le **poids de Gilbert-Varshamov** w_{GV} comme

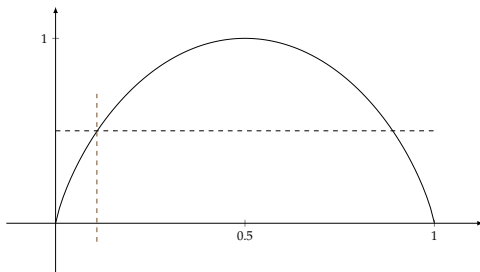
$$w_{GV} := \omega_{GV} n \quad \text{où } \omega_{GV} \in [0, \frac{1}{2}] \text{ satisfait } h(\omega_{GV}) = 1 - R.$$

Ce poids dépend du taux d'information $R = \frac{k}{n}$ du code.

Définition. On définit le **poids de Gilbert-Varshamov** w_{GV} comme

$$w_{GV} := \omega_{GV} n \quad \text{où } \omega_{GV} \in [0, \frac{1}{2}] \text{ satisfait } h(\omega_{GV}) = 1 - R.$$

Ce poids dépend du taux d'information $R = \frac{k}{n}$ du code.



Sur l'exemple, $R = \frac{1}{2}$ donne $\omega_{GV} \simeq 0,11$.

1. Le système de McEliece

2. Cryptanalyse

Préliminaires mathématiques

Algorithme de Prange

Algorithme de Dumer

McEliece en pratique

3. Signature

CFS

Schéma d'identification de Stern

Rappels. Pour $I = \{i_1, \dots, i_k\} \subset \{1, \dots, n\}$ et un mot $x \in \mathbb{F}_q^n$, on note

$$x_I := (x_{i_1}, \dots, x_{i_k}) \in \mathbb{F}_q^k.$$

Pour $M \in \mathbb{F}_q^{k \times n}$, on note $M|_I$ la matrice constituée des colonnes de M indexées par I .

Rappels. Pour $I = \{i_1, \dots, i_k\} \subset \{1, \dots, n\}$ et un mot $x \in \mathbb{F}_q^n$, on note

$$x_I := (x_{i_1}, \dots, x_{i_k}) \in \mathbb{F}_q^k.$$

Pour $M \in \mathbb{F}_q^{k \times n}$, on note $M|_I$ la matrice constituée des colonnes de M indexées par I .

Le **poinçonnement** de $\mathcal{C} \subseteq \mathbb{F}_q^n$ **en dehors de I** (c'est-à-dire sa restriction à I) est

$$\mathcal{C}_I := \{c_I, c \in \mathcal{C}\} \subseteq \mathbb{F}_q^k.$$

Rappels. Pour $I = \{i_1, \dots, i_k\} \subset \{1, \dots, n\}$ et un mot $x \in \mathbb{F}_q^n$, on note

$$x_I := (x_{i_1}, \dots, x_{i_k}) \in \mathbb{F}_q^k.$$

Pour $M \in \mathbb{F}_q^{k \times n}$, on note $M|_I$ la matrice constituée des colonnes de M indexées par I .

Le **poinçonnement** de $\mathcal{C} \subseteq \mathbb{F}_q^n$ **en dehors de I** (c'est-à-dire sa restriction à I) est

$$\mathcal{C}_I := \{c_I, c \in \mathcal{C}\} \subseteq \mathbb{F}_q^k.$$

Définition. Soit $\mathcal{C} \subseteq \mathbb{F}_q^n$ un code de dimension k . Un ensemble $I \subseteq \{1, \dots, n\}$ de cardinal k est un **ensemble d'information pour \mathcal{C}** si et seulement si $\mathcal{C}_I = \mathbb{F}_q^k$.

Rappels. Pour $I = \{i_1, \dots, i_k\} \subset \{1, \dots, n\}$ et un mot $x \in \mathbb{F}_q^n$, on note

$$x_I := (x_{i_1}, \dots, x_{i_k}) \in \mathbb{F}_q^k.$$

Pour $M \in \mathbb{F}_q^{k \times n}$, on note $M|_I$ la matrice constituée des colonnes de M indexées par I .

Le **poinçonnement** de $\mathcal{C} \subseteq \mathbb{F}_q^n$ **en dehors de I** (c'est-à-dire sa restriction à I) est

$$\mathcal{C}_I := \{c_I, c \in \mathcal{C}\} \subseteq \mathbb{F}_q^k.$$

Définition. Soit $\mathcal{C} \subseteq \mathbb{F}_q^n$ un code de dimension k . Un ensemble $I \subseteq \{1, \dots, n\}$ de cardinal k est un **ensemble d'information pour \mathcal{C}** si et seulement si $\mathcal{C}_I = \mathbb{F}_q^k$.

Remarque. Il n'y a pas unicité de l'ensemble d'information d'un code.

Rappels. Pour $I = \{i_1, \dots, i_k\} \subset \{1, \dots, n\}$ et un mot $x \in \mathbb{F}_q^n$, on note

$$x_I := (x_{i_1}, \dots, x_{i_k}) \in \mathbb{F}_q^k.$$

Pour $M \in \mathbb{F}_q^{k \times n}$, on note $M|_I$ la matrice constituée des colonnes de M indexées par I .

Le **poissonnement** de $\mathcal{C} \subseteq \mathbb{F}_q^n$ **en dehors de** I (c'est-à-dire sa restriction à I) est

$$\mathcal{C}_I := \{c_I, c \in \mathcal{C}\} \subseteq \mathbb{F}_q^k.$$

Définition. Soit $\mathcal{C} \subseteq \mathbb{F}_q^n$ un code de dimension k . Un ensemble $I \subseteq \{1, \dots, n\}$ de cardinal k est un **ensemble d'information pour** \mathcal{C} si et seulement si $\mathcal{C}_I = \mathbb{F}_q^k$.

Remarque. Il n'y a pas unicité de l'ensemble d'information d'un code.

Exemple. Le code binaire engendré par

$$G = \begin{pmatrix} 1 & 0 & 1 & 1 \\ 0 & 1 & 0 & 1 \end{pmatrix}$$

possède comme ensembles d'information $\{1, 2\}$, $\{1, 4\}$, $\{2, 3\}$, $\{2, 4\}$ et $\{3, 4\}$.

Rappels. Pour $I = \{i_1, \dots, i_k\} \subset \{1, \dots, n\}$ et un mot $x \in \mathbb{F}_q^n$, on note

$$x_I := (x_{i_1}, \dots, x_{i_k}) \in \mathbb{F}_q^k.$$

Pour $M \in \mathbb{F}_q^{k \times n}$, on note $M|_I$ la matrice constituée des colonnes de M indexées par I .

Le **poissonnement** de $\mathcal{C} \subseteq \mathbb{F}_q^n$ **en dehors de** I (c'est-à-dire sa restriction à I) est

$$\mathcal{C}_I := \{c_I, c \in \mathcal{C}\} \subseteq \mathbb{F}_q^k.$$

Définition. Soit $\mathcal{C} \subseteq \mathbb{F}_q^n$ un code de dimension k . Un ensemble $I \subseteq \{1, \dots, n\}$ de cardinal k est un **ensemble d'information pour** \mathcal{C} si et seulement si $\mathcal{C}_I = \mathbb{F}_q^k$.

Remarque. Il n'y a pas unicité de l'ensemble d'information d'un code.

Exemple. Le code binaire engendré par

$$G = \begin{pmatrix} 1 & 0 & 1 & 1 \\ 0 & 1 & 0 & 1 \end{pmatrix}$$

possède comme ensembles d'information $\{1, 2\}$, $\{1, 4\}$, $\{2, 3\}$, $\{2, 4\}$ et $\{3, 4\}$.

Remarque. Un code MDS admet comme ensembles d'information tous les sous-ensembles de taille k de $\{1, \dots, n\}$. C'en est une caractérisation.

Lemme. Soit $\mathcal{C} \subseteq \mathbb{F}_q^n$ un code de matrice génératrice $\mathbf{G} \in \mathbb{F}_q^{k \times n}$, et de matrice de parité $\mathbf{H} \in \mathbb{F}_q^{(n-k) \times n}$. Soit $I \subseteq \{1, \dots, n\}$ de cardinal k et $\bar{I} = \{1, \dots, n\} \setminus I$ son complémentaire. Alors,

I est un ensemble d'information de $\mathcal{C} \iff \mathbf{G}_{|I}$ est inversible

$\iff \mathbf{H}_{|\bar{I}}$ est inversible.

Lemme. Soit $\mathcal{C} \subseteq \mathbb{F}_q^n$ un code de matrice génératrice $G \in \mathbb{F}_q^{k \times n}$, et de matrice de parité $H \in \mathbb{F}_q^{(n-k) \times n}$. Soit $I \subseteq \{1, \dots, n\}$ de cardinal k et $\bar{I} = \{1, \dots, n\} \setminus I$ son complémentaire. Alors,

$$I \text{ est un ensemble d'information de } \mathcal{C} \iff G_{|I} \text{ est inversible} \\ \iff H_{|\bar{I}} \text{ est inversible.}$$

Preuve. La première équivalence est due au fait que $G_{|I}$ engendre \mathcal{C}_I . Pour la seconde équivalence :

$$\begin{aligned} \mathcal{C}_I = \mathbb{F}_q^k &\iff \text{aucun mot de } \mathcal{C} \text{ n'est supporté par } \bar{I} \\ &\iff \text{aucune équation de parité de } \mathcal{C}^\perp \text{ n'est supportée par } \bar{I} \\ &\iff \text{les colonnes de } H \text{ indexées par } \bar{I} \text{ sont libres} \\ &\iff (\mathcal{C}^\perp)_{\bar{I}} = \mathbb{F}_q^{n-k} \end{aligned}$$

Lemme. Soit $\mathcal{C} \subseteq \mathbb{F}_q^n$ un code de matrice génératrice $G \in \mathbb{F}_q^{k \times n}$, et de matrice de parité $H \in \mathbb{F}_q^{(n-k) \times n}$. Soit $I \subseteq \{1, \dots, n\}$ de cardinal k et $\bar{I} = \{1, \dots, n\} \setminus I$ son complémentaire. Alors,

$$I \text{ est un ensemble d'information de } \mathcal{C} \iff G|_I \text{ est inversible}$$

$$\iff H|_{\bar{I}} \text{ est inversible.}$$

Preuve. La première équivalence est due au fait que $G|_I$ engendre \mathcal{C}_I . Pour la seconde équivalence :

$$\begin{aligned} \mathcal{C}_I = \mathbb{F}_q^k &\iff \text{aucun mot de } \mathcal{C} \text{ n'est supporté par } \bar{I} \\ &\iff \text{aucune équation de parité de } \mathcal{C}^\perp \text{ n'est supportée par } \bar{I} \\ &\iff \text{les colonnes de } H \text{ indexées par } \bar{I} \text{ sont libres} \\ &\iff (\mathcal{C}^\perp)_{\bar{I}} = \mathbb{F}_q^{n-k} \end{aligned}$$

Conséquences.

- Un mot de code $c \in \mathcal{C}$ est uniquement déterminé par ses coordonnées sur un ensemble d'information du code.
- Tester si un sous-ensemble donné est un ensemble d'information a pour complexité $\mathcal{O}((\min\{k, n-k\})^3)$.

Idée de l'algorithme de Prange (1962) :

1. on tire aléatoirement un ensemble d'information I pour C ,
2. on détermine un mot qui n'a pas d'erreur sur I , et on espère que le nombre d'erreur hors de I est petit.

Idée de l'algorithme de Prange (1962) :

1. on tire aléatoirement un ensemble d'information I pour \mathcal{C} ,
2. on détermine un mot qui n'a pas d'erreur sur I , et on espère que le nombre d'erreur hors de I est petit.

ALGORITHME DE PRANGE

Entrée : $H \in \mathbb{F}_q^{(n-k) \times n}$, w et $s = eH^\top$ où $|e| = w$.

Sortie : $x \in \mathbb{F}_q^n$ tel que $|x| = w$ et $xH^\top = s$.

1. Choisir aléatoirement un ensemble d'information I de \mathcal{C} .
2. Résoudre le système
$$\begin{cases} x|_I = \mathbf{0}, \\ xH^\top = s. \end{cases}$$
3. Si la solution x vérifie $|x| = w$, retourner x .
4. Sinon, revenir à l'étape 1.

Idée de l'algorithme de Prange (1962) :

1. on tire aléatoirement un ensemble d'information I pour \mathcal{C} ,
2. on détermine un mot qui n'a pas d'erreur sur I , et on espère que le nombre d'erreur hors de I est petit.

ALGORITHME DE PRANGE

Entrée : $H \in \mathbb{F}_q^{(n-k) \times n}$, w et $s = eH^\top$ où $|e| = w$.

Sortie : $x \in \mathbb{F}_q^n$ tel que $|x| = w$ et $xH^\top = s$.

1. Choisir aléatoirement un ensemble d'information I de \mathcal{C} .
2. Résoudre le système
$$\begin{cases} x|_I = \mathbf{0}, \\ xH^\top = s. \end{cases}$$
3. Si la solution x vérifie $|x| = w$, retourner x .
4. Sinon, revenir à l'étape 1.

Remarque. Pour $w \leq \lfloor \frac{d-1}{2} \rfloor$, si l'algorithme de Prange termine alors il retourne l'erreur e telle que $y = c + e$.

Proposition. Supposons que $w < w_{GV}$. Si SD admet une solution en poids w , alors l'algorithme de Prange trouve une solution en temps moyen

$$C_1 = \text{poly}(n) \cdot \frac{\binom{n}{w}}{\binom{n-k}{w}}$$

où $\text{poly}(n)$ représente un facteur polynomial en n .

Proposition. Supposons que $w < w_{GV}$. Si SD admet une solution en poids w , alors l'algorithme de Prange trouve une solution en temps moyen

$$C_1 = \text{poly}(n) \cdot \frac{\binom{n}{w}}{\binom{n-k}{w}}$$

où $\text{poly}(n)$ représente un facteur polynomial en n .

Preuve. Compter le nombre de mots de poids w supportés par le complémentaire de $I...$ (exercice).

Proposition. Supposons que $w < w_{GV}$. Si SD admet une solution en poids w , alors l'algorithme de Prange trouve une solution en temps moyen

$$C_1 = \text{poly}(n) \cdot \frac{\binom{n}{w}}{\binom{n-k}{w}}$$

où $\text{poly}(n)$ représente un facteur polynomial en n .

Preuve. Compter le nombre de mots de poids w supportés par le complémentaire de L ... (exercice).

Dans le cas $w < w_{GV}$, on obtient asymptotiquement

$$C_1 = 2^{n(\gamma_1 + o(1))}$$

où

$$\gamma_1 = h(\omega) - (1 - R)h(w/(n - k)) = h(\omega) - (1 - R)h(\omega/(1 - R))$$

Proposition. Supposons que $w > w_{GV}$. L'algorithme de Prange trouve une solution en temps moyen

$$C_2 = \text{poly}(n) \cdot \frac{2^{n-k}}{\binom{n-k}{w}}$$

où $\text{poly}(n)$ représente un facteur polynomial en n .

Preuve. Comme précédemment. Penser à moyenner par le nombre de solutions au problème.

Proposition. Supposons que $w > w_{GV}$. L'algorithme de Prange trouve une solution en temps moyen

$$C_2 = \text{poly}(n) \cdot \frac{2^{n-k}}{\binom{n-k}{w}}$$

où $\text{poly}(n)$ représente un facteur polynomial en n .

Preuve. Comme précédemment. Penser à moyenner par le nombre de solutions au problème.

Dans le cas $w > w_{GV}$, on obtient asymptotiquement

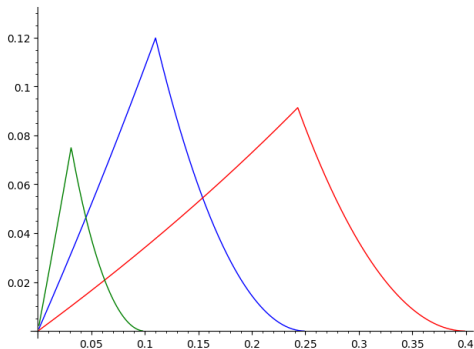
$$C_2 = 2^{n(\gamma_2 + o(1))}$$

où

$$\gamma_2 = (1 - R) - (1 - R)h(w/(n - k)) = (1 - R)(1 - h(\omega/(1 - R)))$$

Remarque : dès que $w \geq n - k$, il devient très aisé de trouver une solution.

Observons l'évolution de l'exposant asymptotique en fonction de ω et R :



Exposant asymptotique $C(R, \omega)$ de la complexité de l'algorithme de Prange en fonction de ω . Autrement dit, la complexité de l'algorithme est en $2^{C(R, \omega)}$, où ω varie selon l'axe des abscisses, et R selon la couleur.

En abscisse : ω .

En ordonnée : l'exposant asymptotique.

Couleurs : $R = 0.8$, $R = 0.5$, $R = 0.2$.

1. Le système de McEliece

2. Cryptanalyse

Préliminaires mathématiques

Algorithme de Prange

Algorithme de Dumer

McEliece en pratique

3. Signature

CFS

Schéma d'identification de Stern

Rappel. On souhaite résoudre $eH^\top = s$ où e a poids w .

Rappel. On souhaite résoudre $eH^\top = s$ où e a poids w .

Idée : exploiter le **paradoxe des anniversaires** grâce à un compromis temps-mémoire.

Rappel. On souhaite résoudre $eH^\top = s$ où e a poids w .

Idée : exploiter le **paradoxe des anniversaires** grâce à un compromis temps-mémoire.

Pour simplifier, on suppose que w et n sont pairs.

Soit $J_1 \sqcup J_2$ une partition de $[1, n]$, telle que $|J_1| = |J_2| = n/2$. On écrit $e_i := e_{|J_i}$ et $H_i := H_{|J_i}$.
Alors,

$$eH^\top - s = e_1H_1^\top + (e_2H_2^\top - s)$$

Rappel. On souhaite résoudre $eH^\top = s$ où e a poids w .

Idée : exploiter le **paradoxe des anniversaires** grâce à un compromis temps-mémoire.

Pour simplifier, on suppose que w et n sont pairs.

Soit $J_1 \sqcup J_2$ une partition de $[1, n]$, telle que $|J_1| = |J_2| = n/2$. On écrit $e_i := e_{|J_i}$ et $H_i := H_{|J_i}$. Alors,

$$eH^\top - s = e_1H_1^\top + (e_2H_2^\top - s)$$

On espère alors que J_1 et J_2 coupent e en deux erreurs de poids $w/2$ et de longueur $n/2$.

Rappel. On souhaite résoudre $eH^\top = s$ où e a poids w .

Idée : exploiter le **paradoxe des anniversaires** grâce à un compromis temps-mémoire.

Pour simplifier, on suppose que w et n sont pairs.

Soit $J_1 \sqcup J_2$ une partition de $[1, n]$, telle que $|J_1| = |J_2| = n/2$. On écrit $e_i := e_{|J_i}$ et $H_i := H_{|J_i}$. Alors,

$$eH^\top - s = e_1H_1^\top + (e_2H_2^\top - s)$$

On espère alors que J_1 et J_2 coupent e en deux erreurs de poids $w/2$ et de longueur $n/2$.

On construit donc deux listes

$$L_1 = \{x_1H_1^\top \mid x_1 \in \mathbb{F}_q^{n/2}, |x_1| = w/2\}$$

$$L_2 = \{s - x_2H_2^\top \mid x_2 \in \mathbb{F}_q^{n/2}, |x_2| = w/2\}$$

Rappel. On souhaite résoudre $eH^\top = s$ où e a poids w .

Idée : exploiter le **paradoxe des anniversaires** grâce à un compromis temps-mémoire.

Pour simplifier, on suppose que w et n sont pairs.

Soit $J_1 \sqcup J_2$ une partition de $[1, n]$, telle que $|J_1| = |J_2| = n/2$. On écrit $e_i := e_{|J_i}$ et $H_i := H_{|J_i}$. Alors,

$$eH^\top - s = e_1H_1^\top + (e_2H_2^\top - s)$$

On espère alors que J_1 et J_2 coupent e en deux erreurs de poids $w/2$ et de longueur $n/2$.

On construit donc deux listes

$$L_1 = \{x_1H_1^\top \mid x_1 \in \mathbb{F}_q^{n/2}, |x_1| = w/2\}$$

$$L_2 = \{s - x_2H_2^\top \mid x_2 \in \mathbb{F}_q^{n/2}, |x_2| = w/2\}$$

Et on retrouve $e = (x_1, x_2)$ comme une collision entre les listes.

Définition des listes :

$$L_1 = \{x_1 H_1^\top \mid x_1 \in \mathbb{F}_q^{n/2}, |x_1| = w/2\}$$

$$L_2 = \{s - x_2 H_2^\top \mid x_2 \in \mathbb{F}_q^{n/2}, |x_2| = w/2\}$$

ALGORITHME DE DUMER

Entrée : H , w et $s = eH^\top$ où $|e| = w$.

Sortie : un ensemble de vecteurs x tels que $|x| = w$ et $xH^\top = s$.

1. Choisir aléatoirement une partition $J_1 \sqcup J_2$ de $\{1, \dots, n\}$.
2. Construire les listes L_1 et L_2 comme définies plus haut.
3. Si $L_1 \cap L_2 = \emptyset$, revenir à l'étape 1.
4. Sinon, retourner l'ensemble des $x = (x_1, x_2)$ provenant de $L_1 \cap L_2$.

Lemme. Soient deux listes L_1, L_2 d'éléments de \mathbb{F}_q^{n-k} tirés uniformément, de taille N chacune. Alors, le nombre moyen de collisions entre L_1 et L_2 est :

$$\frac{N^2}{q^{n-k}}$$

Lemme. Soient deux listes L_1, L_2 d'éléments de \mathbb{F}_q^{n-k} tirés uniformément, de taille N chacune. Alors, le nombre moyen de collisions entre L_1 et L_2 est :

$$\frac{N^2}{q^{n-k}}$$

Preuve. Ce nombre moyen de collisions est

$$\mathbb{E} \left(\sum_{x \in \mathbb{F}_q^n} \mathbb{1}_{x \in L_1} \mathbb{1}_{x \in L_2} \right),$$

où $\mathbb{1}_{\mathcal{E}}$ est la fonction indicatrice de l'évènement \mathcal{E} .

Lemme. Soient deux listes L_1, L_2 d'éléments de \mathbb{F}_q^{n-k} tirés uniformément, de taille N chacune. Alors, le nombre moyen de collisions entre L_1 et L_2 est :

$$\frac{N^2}{q^{n-k}}$$

Preuve. Ce nombre moyen de collisions est

$$\mathbb{E}\left(\sum_{x \in \mathbb{F}_q^n} \mathbb{1}_{x \in L_1} \mathbb{1}_{x \in L_2}\right),$$

où $\mathbb{1}_{\mathcal{E}}$ est la fonction indicatrice de l'évènement \mathcal{E} . On fait ensuite jouer la linéarité de l'espérance et l'indépendance des variables :

$$\mathbb{E}\left(\sum_{x \in \mathbb{F}_q^{n-k}} \mathbb{1}_{x \in L_1} \mathbb{1}_{x \in L_2}\right) = q^{n-k} \left(\frac{N}{q^{n-k}}\right)^2$$

Lemme. Soient deux listes L_1, L_2 d'éléments de \mathbb{F}_q^{n-k} tirés uniformément, de taille N chacune. Alors, le nombre moyen de collisions entre L_1 et L_2 est :

$$\frac{N^2}{q^{n-k}}$$

Preuve. Ce nombre moyen de collisions est

$$\mathbb{E}\left(\sum_{x \in \mathbb{F}_q^n} \mathbb{1}_{x \in L_1} \mathbb{1}_{x \in L_2}\right),$$

où $\mathbb{1}_{\mathcal{E}}$ est la fonction indicatrice de l'évènement \mathcal{E} . On fait ensuite jouer la linéarité de l'espérance et l'indépendance des variables :

$$\mathbb{E}\left(\sum_{x \in \mathbb{F}_q^{n-k}} \mathbb{1}_{x \in L_1} \mathbb{1}_{x \in L_2}\right) = q^{n-k} \left(\frac{N}{q^{n-k}}\right)^2$$

Lemme. Le nombre d'éléments dans les listes L_1 et L_2 est

$$N = \binom{n/2}{w/2} (q-1)^{w/2}.$$

ALGORITHME DE DUMER

Entrée : H , w et $s = eH^\top$ où $|e| = w$.

Sortie : un ensemble de vecteurs x tels que $|x| = w$ et $xH^\top = s$.

1. Choisir aléatoirement une partition $J_1 \sqcup J_2$ de $\{1, \dots, n\}$.
2. Construire les listes L_1 et L_2 comme définies plus haut.
3. Si $L_1 \cap L_2 = \emptyset$, revenir à l'étape 1.
4. Sinon, retourner l'ensemble des $x = (x_1, x_2)$ provenant de $L_1 \cap L_2$.

Théorème ($q = 2$). Soit $N = \binom{n/2}{w/2}$ et $M = N^2/2^{n-k}$. La méthode de Dumer fournit en moyenne M solutions au problème de décodage par syndrome, en temps $M + N$ (à un facteur polynomial près).

ALGORITHME DE DUMER

Entrée : H , w et $s = eH^\top$ où $|e| = w$.

Sortie : un ensemble de vecteurs x tels que $|x| = w$ et $xH^\top = s$.

1. Choisir aléatoirement une partition $J_1 \sqcup J_2$ de $\{1, \dots, n\}$.
2. Construire les listes L_1 et L_2 comme définies plus haut.
3. Si $L_1 \cap L_2 = \emptyset$, revenir à l'étape 1.
4. Sinon, retourner l'ensemble des $x = (x_1, x_2)$ provenant de $L_1 \cap L_2$.

Théorème ($q = 2$). Soit $N = \binom{n/2}{w/2}$ et $M = N^2/2^{n-k}$. La méthode de Dumer fournit en moyenne M solutions au problème de décodage par syndrome, en temps $M + N$ (à un facteur polynomial près).

Preuve. Une bonne partition est trouvée avec probabilité $p = \binom{n/2}{w/2}^2 / \binom{n}{w}$. On doit donc effectuer $1/p$ itérations, et on note que $1/p = \text{poly}(n, w)$.

ALGORITHME DE DUMER

Entrée : H , w et $s = eH^\top$ où $|e| = w$.

Sortie : un ensemble de vecteurs x tels que $|x| = w$ et $xH^\top = s$.

1. Choisir aléatoirement une partition $J_1 \sqcup J_2$ de $\{1, \dots, n\}$.
2. Construire les listes L_1 et L_2 comme définies plus haut.
3. Si $L_1 \cap L_2 = \emptyset$, revenir à l'étape 1.
4. Sinon, retourner l'ensemble des $x = (x_1, x_2)$ provenant de $L_1 \cap L_2$.

Théorème ($q = 2$). Soit $N = \binom{n/2}{w/2}$ et $M = N^2/2^{n-k}$. La méthode de Dumer fournit en moyenne M solutions au problème de décodage par syndrome, en temps $M + N$ (à un facteur polynomial près).

Preuve. Une bonne partition est trouvée avec probabilité $p = \binom{n/2}{w/2}^2 / \binom{n}{w}$. On doit donc effectuer $1/p$ itérations, et on note que $1/p = \text{poly}(n, w)$.
Pour chaque itération, la complexité est $2N$.

ALGORITHME DE DUMER

Entrée : H , w et $s = eH^\top$ où $|e| = w$.

Sortie : un ensemble de vecteurs x tels que $|x| = w$ et $xH^\top = s$.

1. Choisir aléatoirement une partition $J_1 \sqcup J_2$ de $\{1, \dots, n\}$.
2. Construire les listes L_1 et L_2 comme définies plus haut.
3. Si $L_1 \cap L_2 = \emptyset$, revenir à l'étape 1.
4. Sinon, retourner l'ensemble des $x = (x_1, x_2)$ provenant de $L_1 \cap L_2$.

Théorème ($q = 2$). Soit $N = \binom{n/2}{w/2}$ et $M = N^2/2^{n-k}$. La méthode de Dumer fournit en moyenne M solutions au problème de décodage par syndrome, en temps $M + N$ (à un facteur polynomial près).

Preuve. Une bonne partition est trouvée avec probabilité $p = \binom{n/2}{w/2}^2 / \binom{n}{w}$. On doit donc effectuer $1/p$ itérations, et on note que $1/p = \text{poly}(n, w)$.

Pour chaque itération, la complexité est $2N$.

Pour la dernière itération, on obtient M solutions, donc la complexité est $M + 2N$.

1. Le système de McEliece

2. Cryptanalyse

Préliminaires mathématiques

Algorithme de Prange

Algorithme de Dumer

McEliece en pratique

3. Signature

CFS

Schéma d'identification de Stern

Si vous souhaitez **aller plus loin** :

- Autres algorithmes de type ISD (*information set decoding*)
- Algorithme de Wagner
- Algorithme MMT (May, Meurer, Thomae)
- Algorithme BJMM (Becker, Joux, May, Maurer)
- Algorithme de May et Ozerov
- et beaucoup d'optimisations...

Si vous souhaitez **aller plus loin** :

- Autres algorithmes de type ISD (*information set decoding*)
- Algorithme de Wagner
- Algorithme MMT (May, Meurer, Thomae)
- Algorithme BJMM (Becker, Joux, May, Maurer)
- Algorithme de May et Ozerov
- et beaucoup d'optimisations...

En théorie, le meilleur exposant (en 2018) était obtenu par une optimisation de BJMM par Both et May

⇒ complexité en $O(2^{2n/21})$.

En pratique, on choisit un rendement $R = \frac{k}{n} \simeq 0,8$; le poids correspondant à un décodage possible pour Alice, et le plus difficile pour un attaquant, est alors $w \simeq n/5 \log_2 n$.

En pratique, on choisit un rendement $R = \frac{k}{n} \simeq 0,8$; le poids correspondant à un décodage possible pour Alice, et le plus difficile pour un attaquant, est alors $w \simeq n/5 \log_2 n$.

Le schéma de McEliece originel proposait $n = 1024$, beaucoup trop petit actuellement (attaques en $\simeq 2^{50}$ opérations).

En pratique, on choisit un rendement $R = \frac{k}{n} \simeq 0,8$; le poids correspondant à un décodage possible pour Alice, et le plus difficile pour un attaquant, est alors $w \simeq n/5 \log_2 n$.

Le schéma de McEliece originel proposait $n = 1024$, beaucoup trop petit actuellement (attaques en $\simeq 2^{50}$ opérations).

Dans la récente proposition de standardisation au NIST (<https://classic.mceliece.org>), les valeurs $n = 6960$ et $t = 119$ ont été choisies (parmi d'autres), pour une sécurité annoncée de 256 bits.

En pratique, on choisit un rendement $R = \frac{k}{n} \simeq 0,8$; le poids correspondant à un décodage possible pour Alice, et le plus difficile pour un attaquant, est alors $w \simeq n/5 \log_2 n$.

Le schéma de McEliece originel proposait $n = 1024$, beaucoup trop petit actuellement (attaques en $\simeq 2^{50}$ opérations).

Dans la récente proposition de standardisation au NIST (<https://classic.mceliece.org>), les valeurs $n = 6960$ et $t = 119$ ont été choisies (parmi d'autres), pour une sécurité annoncée de 256 bits.

Taille de clefs :

sécurité (bits)	128	192	256
clé publique	243 ko	425 ko	1.34 Mo

En pratique, on choisit un rendement $R = \frac{k}{n} \simeq 0,8$; le poids correspondant à un décodage possible pour Alice, et le plus difficile pour un attaquant, est alors $w \simeq n/5 \log_2 n$.

Le schéma de McEliece originel proposait $n = 1024$, beaucoup trop petit actuellement (attaques en $\simeq 2^{50}$ opérations).

Dans la récente proposition de standardisation au NIST (<https://classic.mceliece.org>), les valeurs $n = 6960$ et $t = 119$ ont été choisies (parmi d'autres), pour une sécurité annoncée de 256 bits.

Taille de clefs :

sécurité (bits)	128	192	256
clé publique	243 ko	425 ko	1.34 Mo

Pour l'instant, aucun algorithme quantique ne permet de résoudre très efficacement le problème SD.

En pratique, on choisit un rendement $R = \frac{k}{n} \simeq 0,8$; le poids correspondant à un décodage possible pour Alice, et le plus difficile pour un attaquant, est alors $w \simeq n/5 \log_2 n$.

Le schéma de McEliece originel proposait $n = 1024$, beaucoup trop petit actuellement (attaques en $\simeq 2^{50}$ opérations).

Dans la récente proposition de standardisation au NIST (<https://classic.mceliece.org>), les valeurs $n = 6960$ et $t = 119$ ont été choisies (parmi d'autres), pour une sécurité annoncée de 256 bits.

Taille de clefs :

sécurité (bits)	128	192	256
clé publique	243 ko	425 ko	1.34 Mo

Pour l'instant, aucun algorithme quantique ne permet de résoudre très efficacement le problème SD.

Liens :

1. <https://decodingchallenge.org>, un site web pour estimer la difficulté de problèmes de décodage
2. Cawof, un logiciel pour calculer le coût pratique des meilleurs algorithmes pour résoudre SD.

1. Le système de McEliece

2. Cryptanalyse

Préliminaires mathématiques

Algorithme de Prange

Algorithme de Dumer

McEliece en pratique

3. Signature

CFS

Schéma d'identification de Stern

1. Le système de McEliece

2. Cryptanalyse

Préliminaires mathématiques

Algorithme de Prange

Algorithme de Dumer

McEliece en pratique

3. Signature

CFS

Schéma d'identification de Stern

La **signature CFS** (Courtois, Finiasz, Sendrier, 2001) est une signature à base de codes reposant sur le paradigme *hash-and-sign*.

La **signature CFS** (Courtois, Finiasz, Sendrier, 2001) est une signature à base de codes reposant sur le paradigme *hash-and-sign*.

Hash-and-sign. On se donne une fonction de hachage cryptographique vers un ensemble \mathcal{A} :

$$\begin{array}{rcl} \mathcal{H} : & \{0,1\}^* & \rightarrow \mathcal{A} \\ & \mathbf{m} & \mapsto \mathbf{a} = \mathcal{H}(\mathbf{m}). \end{array}$$

La **signature CFS** (Courtois, Finiasz, Sendrier, 2001) est une signature à base de codes reposant sur le paradigme *hash-and-sign*.

Hash-and-sign. On se donne une fonction de hachage cryptographique vers un ensemble \mathcal{A} :

$$\begin{array}{rcl} \mathcal{H} : & \{0,1\}^* & \rightarrow \mathcal{A} \\ & m & \mapsto a = \mathcal{H}(m). \end{array}$$

On construit une **fonction à sens unique et à trappe** $f : \mathcal{S} \rightarrow \mathcal{A}$ (*one-way trapdoor function*), où \mathcal{S} est l'ensemble des signatures. Plus précisément, la fonction f doit satisfaire :

1. f s'évalue facilement sur \mathcal{S} ,
2. sans la connaissance de la trappe, il est calculatoirement difficile de calculer une pré-image $f^{-1}(a)$, pour $a = f(s)$,
3. avec la connaissance de la trappe, calculer $f^{-1}(f(s))$ est aisé.

La **signature CFS** (Courtois, Finiasz, Sendrier, 2001) est une signature à base de codes reposant sur le paradigme *hash-and-sign*.

Hash-and-sign. On se donne une fonction de hachage cryptographique vers un ensemble \mathcal{A} :

$$\begin{aligned} \mathcal{H} : \{0,1\}^* &\rightarrow \mathcal{A} \\ m &\mapsto a = \mathcal{H}(m). \end{aligned}$$

On construit une **fonction à sens unique et à trappe** $f : \mathcal{S} \rightarrow \mathcal{A}$ (*one-way trapdoor function*), où \mathcal{S} est l'ensemble des signatures. Plus précisément, la fonction f doit satisfaire :

1. f s'évalue facilement sur \mathcal{S} ,
2. sans la connaissance de la trappe, il est calculatoirement difficile de calculer une pré-image $f^{-1}(a)$, pour $a = f(s)$,
3. avec la connaissance de la trappe, calculer $f^{-1}(f(s))$ est aisé.

On obtient une signature de la manière suivante :

La **signature CFS** (Courtois, Finiasz, Sendrier, 2001) est une signature à base de codes reposant sur le paradigme *hash-and-sign*.

Hash-and-sign. On se donne une fonction de hachage cryptographique vers un ensemble \mathcal{A} :

$$\begin{array}{rcl} \mathcal{H} : & \{0,1\}^* & \rightarrow \mathcal{A} \\ & m & \mapsto a = \mathcal{H}(m). \end{array}$$

On construit une **fonction à sens unique et à trappe** $f : \mathcal{S} \rightarrow \mathcal{A}$ (*one-way trapdoor function*), où \mathcal{S} est l'ensemble des signatures. Plus précisément, la fonction f doit satisfaire :

1. f s'évalue facilement sur \mathcal{S} ,
2. sans la connaissance de la trappe, il est calculatoirement difficile de calculer une pré-image $f^{-1}(a)$, pour $a = f(s)$,
3. avec la connaissance de la trappe, calculer $f^{-1}(f(s))$ est aisé.

On obtient une signature de la manière suivante :

- la **clé privée** est la trappe (autrement dit, f^{-1}), la **clé publique** est f ;

La **signature CFS** (Courtois, Finiasz, Sendrier, 2001) est une signature à base de codes reposant sur le paradigme *hash-and-sign*.

Hash-and-sign. On se donne une fonction de hachage cryptographique vers un ensemble \mathcal{A} :

$$\begin{aligned} \mathcal{H} : \{0,1\}^* &\rightarrow \mathcal{A} \\ m &\mapsto a = \mathcal{H}(m). \end{aligned}$$

On construit une **fonction à sens unique et à trappe** $f : \mathcal{S} \rightarrow \mathcal{A}$ (*one-way trapdoor function*), où \mathcal{S} est l'ensemble des signatures. Plus précisément, la fonction f doit satisfaire :

1. f s'évalue facilement sur \mathcal{S} ,
2. sans la connaissance de la trappe, il est calculatoirement difficile de calculer une pré-image $f^{-1}(a)$, pour $a = f(s)$,
3. avec la connaissance de la trappe, calculer $f^{-1}(f(s))$ est aisé.

On obtient une signature de la manière suivante :

- la **clé privée** est la trappe (autrement dit, f^{-1}), la **clé publique** est f ;
- $\text{Sign}(m, \text{sk}) = f^{-1}(\mathcal{H}(m))$;

La **signature CFS** (Courtois, Finiasz, Sendrier, 2001) est une signature à base de codes reposant sur le paradigme *hash-and-sign*.

Hash-and-sign. On se donne une fonction de hachage cryptographique vers un ensemble \mathcal{A} :

$$\begin{aligned} \mathcal{H} : \{0,1\}^* &\rightarrow \mathcal{A} \\ m &\mapsto a = \mathcal{H}(m). \end{aligned}$$

On construit une **fonction à sens unique et à trappe** $f : \mathcal{S} \rightarrow \mathcal{A}$ (*one-way trapdoor function*), où \mathcal{S} est l'ensemble des signatures. Plus précisément, la fonction f doit satisfaire :

1. f s'évalue facilement sur \mathcal{S} ,
2. sans la connaissance de la trappe, il est calculatoirement difficile de calculer une pré-image $f^{-1}(a)$, pour $a = f(s)$,
3. avec la connaissance de la trappe, calculer $f^{-1}(f(s))$ est aisé.

On obtient une signature de la manière suivante :

- la **clé privée** est la trappe (autrement dit, f^{-1}), la **clé publique** est f ;
- $\text{Sign}(m, \text{sk}) = f^{-1}(\mathcal{H}(m))$;
- $\text{Verify}(s, m, \text{pk})$ teste si $s \in \mathcal{S}$ et $f(s) = \mathcal{H}(m)$.

Instantiation de f dans CFS. On considère \mathcal{F} , l'ensemble des codes de Goppa binaires irréductibles, avec $q = 2^m$, $n \leq q$ et $k = n - wm$. On note $\mathcal{S} = \mathcal{S}_w := \{e \in \mathbb{F}_2^n \mid |e| = w\}$.

Si H est une matrice de contrôle aléatoire d'un code $\mathcal{C} \in \mathcal{F}$ tel code de Goppa, alors

$$f_H : \begin{array}{l} \mathcal{S} = \mathcal{S}_w \\ e \end{array} \begin{array}{l} \rightarrow \\ \mapsto \end{array} \begin{array}{l} \mathcal{A} \subseteq \mathbb{F}_2^{n-k} \\ eH^\top. \end{array}$$

Instantiation de f dans CFS. On considère \mathcal{F} , l'ensemble des codes de Goppa binaires irréductibles, avec $q = 2^m$, $n \leq q$ et $k = n - wm$. On note $\mathcal{S} = \mathcal{S}_w := \{e \in \mathbb{F}_2^n \mid |e| = w\}$.

Si H est une matrice de contrôle aléatoire d'un code $\mathcal{C} \in \mathcal{F}$ tel code de Goppa, alors

$$f_H : \begin{array}{ll} \mathcal{S} = \mathcal{S}_w & \rightarrow \mathcal{A} \subseteq \mathbb{F}_2^{n-k} \\ e & \mapsto eH^T. \end{array}$$

Idée : la sécurité de la signature devrait reposer sur les mêmes problèmes que ceux associés au chiffrement de McEliece (décodage générique + distinction de code) .

Instantiation de f dans CFS. On considère \mathcal{F} , l'ensemble des codes de Goppa binaires irréductibles, avec $q = 2^m$, $n \leq q$ et $k = n - wm$. On note $\mathcal{S} = \mathcal{S}_w := \{e \in \mathbb{F}_2^n \mid |e| = w\}$.

Si H est une matrice de contrôle aléatoire d'un code $\mathcal{C} \in \mathcal{F}$ tel code de Goppa, alors

$$f_H : \begin{array}{ll} \mathcal{S} = \mathcal{S}_w & \rightarrow \mathcal{A} \subseteq \mathbb{F}_2^{n-k} \\ e & \mapsto eH^T. \end{array}$$

Idée : la sécurité de la signature devrait reposer sur les mêmes problèmes que ceux associés au chiffrement de McEliece (décodage générique + distinction de code) .

CFS (IDÉE) : GÉNÉRATION DE CLEFS

1. Alice choisit aléatoirement $\mathcal{C} = \Gamma(g, \mathbf{a}) \in \mathcal{F}$
2. Alice calcule une matrice de parité (aléatoire) $\mathbf{H} \in \mathbb{F}_2^{(n-k) \times n}$ de \mathcal{C}
3. Les clefs sont :
 - clé privée : g et \mathbf{a}
 - clé publique : \mathbf{H} .

CFS (IDÉE) : SIGNATURE

1. Alice hache son message $\mathbf{m} \in \{0, 1\}^*$ et obtient $\mathbf{s} = \mathcal{H}(\mathbf{m}) \in \mathbb{F}_q^{n-k}$.
2. Alice calcule une erreur \mathbf{e} de poids w correspondant au syndrome \mathbf{s} .
3. La signature est \mathbf{e} .

CFS (IDÉE) : VÉRIFICATION

1. Bob vérifie que \mathbf{e} est de poids w , et que $\mathbf{e}\mathbf{H}^\top = \mathcal{H}(\mathbf{m})$.

Problème : surjectivité de la fonction f_H ?

1. Vue comme $f_H : S_w \rightarrow \mathbb{F}_q^{n-k}$, elle est loin d'être surjective.
2. On ne sait pas (a priori) déterminer son image (et même en donner une approximation).

Problème : surjectivité de la fonction f_H ?

1. Vue comme $f_H : S_w \rightarrow \mathbb{F}_q^{n-k}$, elle est loin d'être surjective.
2. On ne sait pas (a priori) déterminer son image (et même en donner une approximation).

En quoi est-ce important ? Il existe beaucoup de fichiers hachés qu'Alice ne pourra pas signer (car il n'existera pas de e associé à $s = \mathcal{H}(m)$).

Problème : surjectivité de la fonction f_H ?

1. Vue comme $f_H : S_w \rightarrow \mathbb{F}_q^{n-k}$, elle est loin d'être surjective.
2. On ne sait pas (a priori) déterminer son image (et même en donner une approximation).

En quoi est-ce important ? Il existe beaucoup de fichiers hachés qu'Alice ne pourra pas signer (car il n'existera pas de e associé à $s = \mathcal{H}(m)$).

Solutions.

1. Ajouter des **erreurs artificielles** pour faire « grossir » S_w et augmenter les chances d'avoir une préimage (il faudra ajouter les indices de ces erreurs artificielles à la signature).
2. **Itérer des hachés** $s^{(0)} = \mathcal{H}(m \parallel 0)$, $s^{(i)} = \mathcal{H}(m \parallel 1)$, ..., jusqu'à obtenir un $s^{(i)} = \mathcal{H}(m \parallel i)$ qui est dans l'image de f_H (il faudra ajouter i à la signature).
3. Se placer dans un régime de paramètres où la proportion d'éléments $\mathcal{A} \subseteq \mathbb{F}_2^{n-k}$ qui admettent une pré-image par f_H est \simeq constante.
 - On choisit donc des codes de Goppa à **haut rendement** $k/n = 1 - o(1)$.
 - On obtient alors une proportion de signatures valides $\binom{n}{w} / 2^{n-k} \sim 1/w!$.
 - **Avantage supplémentaire :** on obtient des signatures plus courtes.

Problème : surjectivité de la fonction f_H ?

1. Vue comme $f_H : S_w \rightarrow \mathbb{F}_q^{n-k}$, elle est loin d'être surjective.
2. On ne sait pas (a priori) déterminer son image (et même en donner une approximation).

En quoi est-ce important ? Il existe beaucoup de fichiers hachés qu'Alice ne pourra pas signer (car il n'existera pas de e associé à $s = \mathcal{H}(m)$).

Solutions.

1. Ajouter des **erreurs artificielles** pour faire « grossir » S_w et augmenter les chances d'avoir une préimage (il faudra ajouter les indices de ces erreurs artificielles à la signature).
2. **Itérer des hachés** $s^{(0)} = \mathcal{H}(m \parallel 0)$, $s^{(i)} = \mathcal{H}(m \parallel 1)$, ..., jusqu'à obtenir un $s^{(i)} = \mathcal{H}(m \parallel i)$ qui est dans l'image de f_H (il faudra ajouter i à la signature).
3. Se placer dans un régime de paramètres où la proportion d'éléments $\mathcal{A} \subseteq \mathbb{F}_2^{n-k}$ qui admettent une pré-image par f_H est \simeq constante.
 - On choisit donc des codes de Goppa à **haut rendement** $k/n = 1 - o(1)$.
 - On obtient alors une proportion de signatures valides $\binom{n}{w} / 2^{n-k} \sim 1/w!$.
 - **Avantage supplémentaire** : on obtient des signatures plus courtes.

En pratique on peut faire les trois...

Problème : en régime $k/n = 1 - o(1)$, la méthode de Dumer permet de trouver des solutions au problème SD en temps relativement faible :

$$T = 2^{\frac{n-k+o(n)}{2}} \simeq 2^{nw/2} = n^{w/2}$$

Problème : en régime $k/n = 1 - o(1)$, la méthode de Dumer permet de trouver des solutions au problème SD en temps relativement faible :

$$T = 2^{\frac{n-k+o(n)}{2}} \simeq 2^{nw/2} = n^{w/2}$$

Autrement dit, T est polynomial en la taille $K \simeq nw \log(n)$ de la clé publique, et l'exposant est borné par $w/2$.

Problème : en régime $k/n = 1 - o(1)$, la méthode de Dumer permet de trouver des solutions au problème SD en temps relativement faible :

$$T = 2^{\frac{n-k+o(n)}{2}} \simeq 2^{nw/2} = n^{w/2}$$

Autrement dit, T est polynomial en la taille $K \simeq nw \log(n)$ de la clé publique, et l'exposant est borné par $w/2$.

En pratique, il existe certaines méthodes pour renforcer la sécurité du schéma CFS (ex : par exemple Parallel-CFS).

Problème : en régime $k/n = 1 - o(1)$, la méthode de Dumer permet de trouver des solutions au problème SD en temps relativement faible :

$$T = 2^{\frac{n-k+o(n)}{2}} \simeq 2^{nw/2} = n^{w/2}$$

Autrement dit, T est polynomial en la taille $K \simeq nw \log(n)$ de la clé publique, et l'exposant est borné par $w/2$.

En pratique, il existe certaines méthodes pour renforcer la sécurité du schéma CFS (ex : par exemple Parallel-CFS).

On peut également choisir w une constante « assez grande ». Cependant, les tailles de clé restent exorbitantes pour les applications usuelles (plusieurs Go pour 128bits de sécurité, avec des temps de signature largement supérieurs à la seconde).

Problème : en régime $k/n = 1 - o(1)$, la méthode de Dumer permet de trouver des solutions au problème SD en temps relativement faible :

$$T = 2^{\frac{n-k+o(n)}{2}} \simeq 2^{mw/2} = n^{w/2}$$

Autrement dit, T est polynomial en la taille $K \simeq nw \log(n)$ de la clé publique, et l'exposant est borné par $w/2$.

En pratique, il existe certaines méthodes pour renforcer la sécurité du schéma CFS (ex : par exemple Parallel-CFS).

On peut également choisir w une constante « assez grande ». Cependant, les tailles de clé restent exorbitantes pour les applications usuelles (plusieurs Go pour 128bits de sécurité, avec des temps de signature largement supérieurs à la seconde).

Plus récemment, **d'autres signatures** à base de codes ont été construites et sont plus prometteuses :

1. WAVE, une signature se basant sur le problème SD en poids très haut, sur le corps \mathbb{F}_3 .
2. DURANDAL, une signature à base de **codes en métrique rang**.

1. Le système de McEliece

2. Cryptanalyse

Préliminaires mathématiques

Algorithme de Prange

Algorithme de Dumer

McEliece en pratique

3. Signature

CFS

Schéma d'identification de Stern

(au tableau... ou en exercice la semaine prochaine)

- 📄 *A Public-Key System Based on Algebraic Coding Theory*. R. McEliece. DSN Progress Report. **1978**.
- 📄 *The use of information sets in decoding cyclic code*. E. Prange. IRE TIT. **1962**.
- 📄 *On minimum distance decoding of linear codes*. I. Dumer. 5th Soviet-Swedish Int. Workshop Inform. Theory. **1991**.
- 📄 *Decoding random linear codes in $O(2^{0.054n})$* . A. May, A. Maurer, E. Thomae. ASIACRYPT. **2011**.
- 📄 *Decoding Random Binary Linear Codes in $2^{n/20}$: How $1 + 1 = 0$ Improves Information Set Decoding*. A. Becker, A. Joux, A. May, A. Maurer. EUROCRYPT. **2012**.

Une thèse en français avec un joli état de l'art :

- 📄 *Cryptographie fondée sur les codes*. T. Debris-Alazard. Thèse de doctorat. **2019**.

Questions ?